

# 鐵道省に於ける土質調査の方法

野坂孝忠

## 土質調査の重要性

土の性質を科學的に研究して土工、基礎工事に理論的根據を與へ度いといふ考へは土木技術の最も切質な要望であるが、其の研究には非常な困難を伴ひ凡ゆる方面に長足の進歩を遂げた技術界でも土に關する問題は長く宿題として残されてゐた。

例へば在工 Erdau の基礎理論なる土壓論に就て見ても、既に一世紀半を廻る 1773 年に發表された Coulomb の土楔論、前世紀の中葉新土壓理論として好奇の眼を以つて迎へられた Rankine-Lévy の土壓論も、その中に介在する力学的取扱の矛盾と過誤は理論的検討と實際との比較即

ちこれ等の理論を各種の構造物——擁壁、基礎工更に隧道に加はる地壓にまで——に應用して見て「實際とはしない」といふ兩方面から厳格すぎる位に検討し盡されてゐるが、

之等の理論が假定してゐる材料の性質は殆ど不同間に附されてゐた。併し實際の土が決して鉛玉を積上げた様な完全な粉體(Pulverulent body) でなく複雑な物理化學的性質特に力學的性質を備へてゐる事は、乾燥した砂の堆積以外の場合古典的土壓論と實際との齟齬を來す主要な原因をなすものと考へられる。

併しより以上現場技術家にとって切質であり常に焦躁を感じしめる問題は、軟弱地盤上に築造した構造物の破壊的沈下であり、切敗の崩壊であり、更に盛土の沈降、擁壁の

倒壊、斜面の地元である。既に發行された當委員會報告書第一輯に記された熊本建設事務所管内有明鐵糸土層上に於ける建設工事、岡山建設事務所管内三吳線の軟弱基礎地盤、東京第一改良事務所管内秋葉原兩國橋間高架線工事現場の軟弱地盤は其の中でも最も著しい例であるが、此外建設改良工事の上に關する諸問題が如何に現場技術家を悩ますか、又屢々新聞記事を通じて鐵道利用者に一株の不安を感じめる切坂隧道の崩壊等に依る列車事故の未然の防止に如何に保線技術員が心臓を碎いてゐるかは想像に餘りある處である。

斯くて當然避け得られない土質調査は、海外に於て先づ其の地方の特に不良な土質の爲年々頻々たる列車事故を起して貴重な人命と多額の工費の損失に悩んだ端的に口火を切つて、1914年國有鐵道内に土質調査委員會が設立された。土壓論の著書有名な M. Möller, K. Pettersson, W. Fellenius 及び S. Fultin 等の指導の下に Göteborg に大規模の研究所を建て、1914~1922年に亘つて全國の國有鐵

道の線路切取築堤にボーリングを施しその土質標本を Gotenborg に送つて土質力學の立場から試験し力學的に計算した結果が 1922 年 Stockholm から委員會報告書として發表されてゐる。

之と前後して 1913 年には米國土木學會内に土質調査委員會 (Soil Committee of the American Society of Civil Engineering) が設立されその研究文獻は同學會誌 (Proceeding of A. S. C. E.) に引き継ぎ發表されてゐるが、昨 1931 年にも最近の研究情況が報告されてゐる。 (Soil Mechanics Research by G. Gilboy, Proc of A. S. C. E., Vol. 57, No. 8.) 學會では J. Resal 「土壓論」 (Poussette des Terre, 1910) に依つて始めて土が摩擦力及凝聚力ある物體として取扱はれた。 K. Terzaghi は「土壤物理學に基づく土質力學」 Erdbaumechanik auf bodenphysikalischer Grundlage 1925 に、從來農業の方面のみで扱はれてゐた土を物理學、力學の立場から研究した結果を發表した。此の二著書は明かに從來の古典的土壓論乃至は農業土壤學の蒙を啓いて「土質力學」

(Erdbaumechanik, Soil Mechanics) への轉換を促し、續いて發行された H. Krey, W. Fellenius の土壓論では何れも其等の影響を受けて凝集力を考へた一敵の土の壁壓基礎地盤の均合等を取扱つてゐる。

尙 Terzaghi は 1924 年米國政府道路局 (U. S. A. Bureau of Public Road) の顧問技師に招聘されて道路と最も密接な關係にある土の科學的研究調査を指導した。爾來道路局で進められてゐる路盤 (Subgrade) の土質調査の興味ある結果は折々機關紙 Public Road, にて報告されてゐるが、昨 1931 年 Public Road, Vol. 12, No. 4, No. 5, に發表された文獻は「道路の改良」昭和 6 年 11 月號に高田昭氏が「路床土壠の物理的試験と其の分類方法」として紹介されてゐる。

最近には 1928 年獨逸に「土質調査なしには經濟的な工事は不可能である」(Ohne Bautechnische Bodenkunde kein wirtschaftliches Bauen) のスローガンの下に H. Krey を委員長とし應用力學者、物理學者、化學者、地質學者、土

木技師等 20 名の委員から成る土質調査委員會 (Studienkommission für bautechnische Bodenkunde) が Charlottenburg Technische Hochschule にて設立されたのを始めとし、諸國、佛蘭西、白耳義、伊太利から更に科學技術方面でも新興の意氣に燃える Tscheo-Slowakia, 波蘭土、露西亞へと今や「土の科學的調査」は燎原の火の勢で學會、技術界を風靡しつゝある。

#### 鐵道省土質調査委員會の設立

斯うした環境の中に一昨年來鐵道省にも「國有鐵道線路の建設、保線、改良等の業務執行上、土の性質を科學的並に工學的に調査研究し、その地域の状況に應じ適切なる工事を施行して、工費の節約と線路の安全を期する目的とし」鐵道大臣の決裁を經て昭和 5 年 11 月 21 日下記委員及び幹事を以て土質調査委員會が設立された。

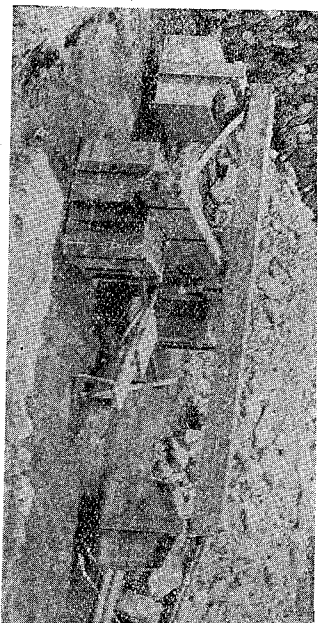
委員長	大臣官房研究室長 工學博士	松 龍 信 太
特別委員	工務局長 工學博士	大 河 戸 宗 治

同 員 工學博士 黑河内四郎  
同 員 工務局保線課長 永田民也  
同 計畫課長 山田隆二  
同 政良課長 平井喜久松

幹事 黒河内四郎  
工務局計畫課技術員 同

建設局計畫課技術員 渡邊賀

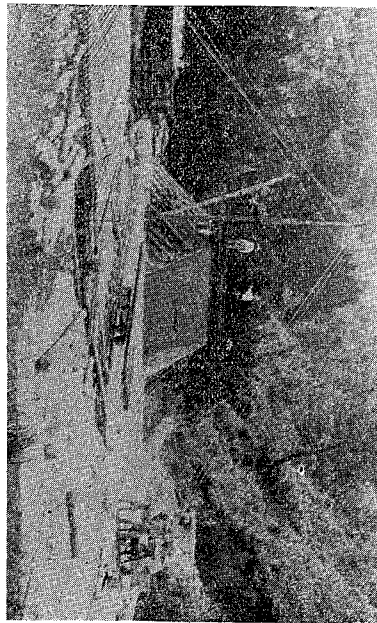
委員は慣例によつて本省職員のみになつてゐるが、現場  
との完全なチームワークは殊に此の種の調査には第一に



第一圖

建設局計畫課長 池原英治  
同 工事課長 河原直太  
大臣官房研究所第四科長 田中豊  
東京帝國大學教授 工學博士 山口昇  
鐵道省嘱託 工學博士 平井喜久松

幹事



第二圖

具備しなければならない必要條件であつて目下次の如き組  
織の下に研究調査が進められてゐる。

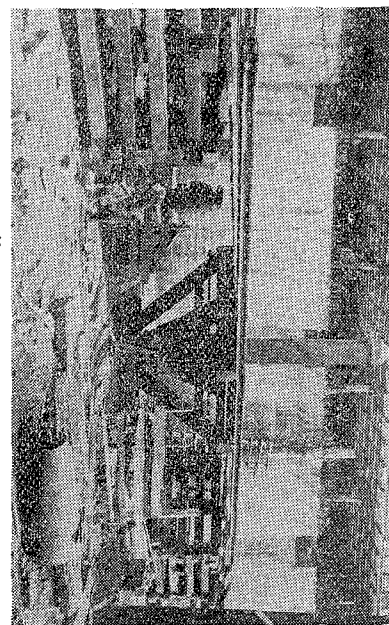
第一部 土質科學的調査（山口委員擔當）  
(1) 官房研究所内實驗室及び熊本、岡山、岐阜、盛岡

各建設事務所内實驗室に於ける土の土質力學的調査並に分類。

(2) 各建設事務所、改良事務所工事現場に於ける載荷試験及土質試験。例へば熊本建設事務所管内國都線に於け

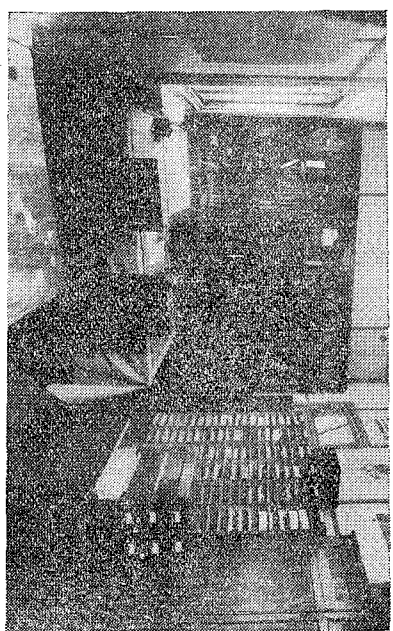
第二部 土質調査を基礎とする構造物の設計(田中委員擔當)。

第三部 土質調査を基礎とする工事施工法(池原委員擔當)。



第三圖

る築堤の載荷崩壊試験(第一圖)、岡山建設事務所管内三吳線に於ける載荷沈下試験(第二圖)、及び東京第一改良事務所管内秋葉原兩國橋間に於ける杭支持力測定試験(第3圖)等。



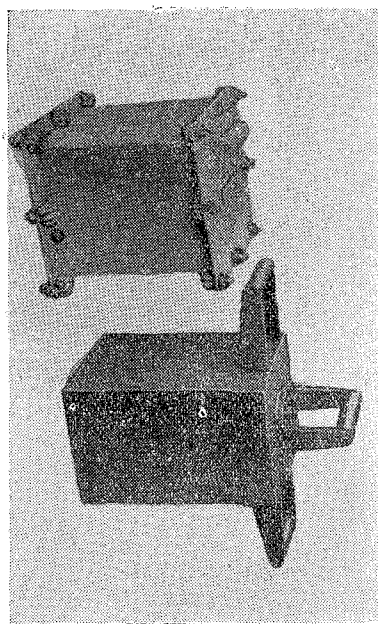
第四圖 土質調査委員會

本省内研究所第四科に置かれ、此處には廣く土に関する参考書籍、雑誌、文献を薦めてある。

此の外、電氣地質調査を研究所第三科服部技師、潜函の支持力調査を柳生幹事山崩調査を渡邊幹事擔當の下に夫々

研究を進めてゐる。

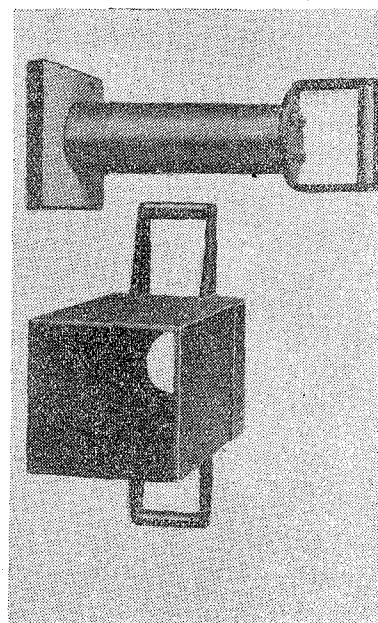
以上の組織の下に實施せる約半年間に亘る研究及び調査結果は、昭和 6 年 6 月鐵道省土質試験委員會報告書第一輯として發表された。



第五圖 土質標本採取機と測定器

以下委員會で採用してゐる土質試験の方法と、参考として最近の理論になる其の應用を簡単に説明する。

### 土質標本採取機



第六圖 土質標本採取機の機體

理的並に機械的質を調査するには成るべく大きい土の塊を採取する必要がある。これ等の條件と尙後に記す前断抵抗測定機の容器の寸法に合はせる爲第五圖及第六圖に示すやうな裝置を考案した。

採取機は縁に又が附いた角筒と其の内壁に密着して上下に滑動するピストンから成る。

標本を採取するには風雨に曝されて變質した部分を避けた爲、必要に應じて表土を2,3尺の程度取り去るか又は堅

附いた把手を引いて土を抜き取る。

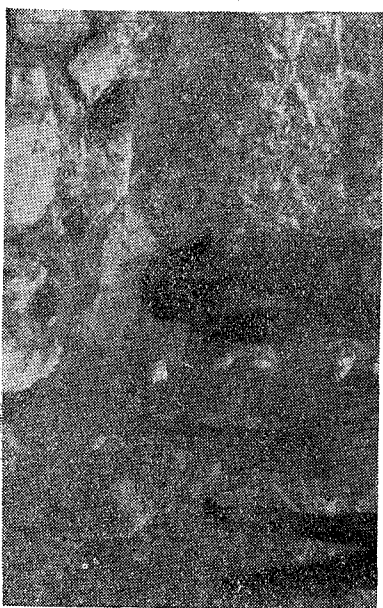
採取機と運搬器は同一の内法 $20 \times 20 \times 30\text{ cm}$ に作つてあるから、採取機を正しく運搬器の上に重ねてピストンを壓し下げれば採取した土は其の儘運搬器に移される。運搬



第七圖 土質標本の採取作業 (1)

適當の深さに表土を取り除き粘土の表面を平に切り均して採取機を据付ける。

坑を掘り表面を平に切り均して採取機を据える。次に其の両側の把手を握り表面を平に切り均して採取機を据える。次に其の



第八圖 土質標本の採取作業 (2)

角筒の兩側に附いてゐる把手を壓して角筒を土の中に壓し込む。同時にピストンは上方に押上げられる。

器には水密の蓋を施し土の含水量や組織を變へない様にして土質實驗室へ送附する。

第七圖乃至第八圖には一例として昨年6月東京市山口村  
野水池工事現場に於ける粘土標本の採取状況を説明した。

## 土質試験の方法

J.L.の方法で採取した土の標  
本に就て目下土質調査委員會  
で採用してゐる試験方法は次  
の如くである。

(1) 土質の機械的分析  
土を組成する粒子を篩別法  
及沈殿法に依つて



第九圖 土質標本の採取作業 (3)

泥炭(Silt)

徑 0.05~0.005 mm

次に選礦器の上に正しく採取機を重ね合はせ、ピストンを  
壓し下げて土を選礦器の中へ移す。

粘土(Clay) 徑 0.005 mm 以下

の三成分に分離し、同時に含水量を測定して各々を % で

表はす。これによつて一つの土を明確に分類記録すること  
が出来る。

### (2) 土質の礦物的分析

土を組成する粒子を礦物學的に分析して土の生成及び土  
粒子の形狀等を調べる。主な  
る粒形と礦物名との間には次  
のやうな關係がある。

(1) 粒状礦物 (石英、長  
石、角閃石、輝石、磁鐵礦等  
にして、後のもの程粒形を増  
し磁鐵礦には球形に近いも  
のがある)。

(2) 棍状礦物 (角閃石は  
著しく棒狀をなしてゐる事が  
ある)。

(3) 片狀礦物 (雲母、滑石、綠泥石等)。

(4) 充填物 (上記の形狀を具へた礦物粒子間を填充せ

る、主として長石が風化して生成したカオリナイトの如きもので、此の外に石英、長石、綠泥石等の膠質状の微粒子を含む。

粒形が土の機械的强度に及ぼす影響は非常に顯著であつて、一般に粒状鉱物は土に摩擦抵抗を與へ、片状鉱物は可塑性を、充填物は凝聚力を與へると考へられてゐる。

#### (3) 土の組織の検鏡

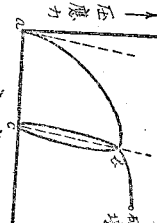
土の標本を薄片に仕上げ、土の物理的性質に密接な關係にある土の組織を顯微鏡によつて研究する。

#### (4) 剪断抵抗の測定

剪断試験機に依つて土の剪断抵抗を測定し、摩擦係数と凝聚力とを決定する。

#### (5) 抗壓強度の測定

粘土分を含むプラスティックな土質からは、直徑 5 cm 高さ 5 cm の圓筒形供試體を切り取り、材料試験機にかけて圧應力変形圖を畫かせる。曲線は第十圖の如く繊維、



セメントの抗張強度測定用器を使って bright et を作製し抗張強度を測定する。

#### (7) 比重の測定

見掛けの比重は土を運搬器に寄せたまゝ秤量しそれから運搬器の重量を差引いたものを運搬器の容積で除して算出する。普通設計に使用する土の単位容積の重量は此の數値である。

眞の比重は乾燥器の中で乾燥した土を比重壐に入れて測定する。先づ比重壐に毛管の或る目盛まで蒸溜水を充した重量を  $W_1$ 、次に重量  $G$  の土粒子を入れて蒸溜水を毛管の前の目盛まで加へた時の重量を  $W_2$  とすれば、土

シクリートの耐壓試験と同様に確然たる彈性限界を示さない。故に加壓の途中で壓力を除去して hysteresis curve を畫かせ、直線 bc の傾斜を以つて土の彈性係数とする。此の數値は彈性理論による土壓、基礎の沈下の計算又は彈性地震波の計算等に應用される。

粒子の容積  $V_s$  及び土粒子の比重  $G_s$  は次式で與へられる。

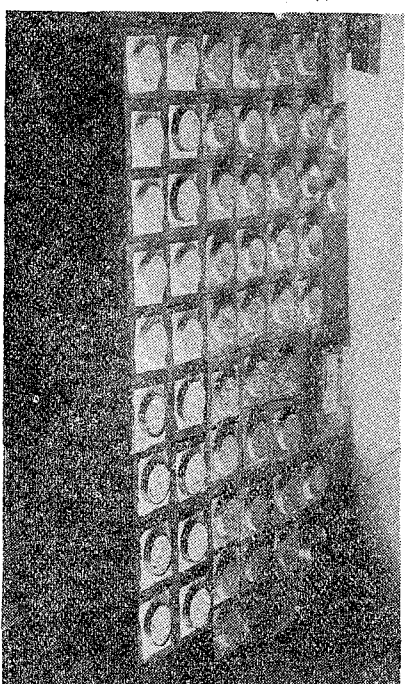
$$V_s = W_1 + G - W_2$$

$$G_s = \frac{G}{V_s}$$

#### (8) 間隙率の測定

一定量の土質の間隙の容積を  $V_v$ 、土粒子の容積を  $V_s$  で表はせば、間隙率 (Porosity)  $P$  及間隙比 (Void ratio)  $e$  は

$$P = \frac{V_v}{V_s + V_v} \times 100 \quad (\%)$$



第十一圖 收縮試験

で與へられる。實際には土の真の比重  $G_s$  見掛けの比重  $G_v$  及び土の含水率  $h$ 。（含水の重量を土の全量で除した數値）から次式に依つて計算してゐる。

$$P = \frac{G_s - G_v (1 - h)}{G_s} \times 100 \quad (\%)$$

總

#### (9) 收縮試験

土を直徑 5 cm, 高さ 1 cm の環狀の型に填め、濾紙の上に載せて空中で徐々に乾燥せしめ、最後に直交する 2 方向の直徑と數個處の厚さを測定して、間隙水の蒸發に依る容積の縮少を測定する。

此の收縮試験の結果と上記の間隙率とは、築堤や構造物の基礎地盤の、壓縮による沈下分力と深い關係がある。

#### (10) Plasticity の測定

attemberg の試験法に依り土の流出限界 (Liquid limit) と Plastic limit に於ける含水量を測定し、其の兩限界の差 Plastic index を求めて土の可塑性 (Plasticity) を判定する。

流出限界は丸底の陶器に約 30 gr の土をとり少量の水を

加へて糊狀に織り、これを径 10~12 cm 厚さ 1 cm の圓板に仕上げて其の中央にツッケル製の籠で V 字型の溝を引いて二つに切斷する。然る後答器を軽く掌で叩いても兩者が 1 mm 以上の高さに流れ合はない程度の含水量を乾燥土の重量に對して % で表はしたものである。

可塑性限界とは土に少量の水を加へて形を與へ得る程度に織り、之を篩器の板の上に掌で轉して徑 4 mm 位の細かい棒に延ばす。これを何度も繰返し轉して土が細かく壊れて細長い棒に延せない程度の含水量を % で表はしたものである。

#### (1) 透水度の測定

water head Inclination i の下に斷面  $Fem^2$  の土の層を

透して水を流して單位時間の透水流量  $Q \text{ cm}^3 / \text{sec}$  を測定

すれば、Darcy の法則により

$$Q = k \cdot i \cdot F$$

から透水度  $k \text{ cm/sec}$  が求められる。

透水度は土粒子の形狀、組織、間隙率に影響される數値

であつて、従つて土質の機械的強度に密接な關係をもつてゐる。

次に特に土の機械的分析法、顯微鏡による調査法及び剪断抵抗の測定法を詳説する。

### 土質の機械的分析法

土を粒子の大きさに従つて分析する方法を機械分析法といひ、粒徑の順に次の如き名稱で呼んでゐる。

(1) 砂利 (Gravel)..... 8 mesh 篩に残つたもの、(粒徑約 2.5 mm 以上)

(2) 砂 (Sand)..... 8 mesh 篩を通過し 200 mesh 篩に残つたもの、(粒徑約 2.5~0.05 mm)

(3) 沈泥 (Silt)..... 200 mesh 篩を通過し 深さ 11 cm の水中に 8 分間靜置して底部より 3 cm 以下に沈殿したも

の、(粒徑約 0.05~0.005 mm)

(4) 粘土 (Clay)..... 200 mesh 篩を通過し、深さ 11 cm の水中に 8 分間靜置して底部より 3 cm 以上に浮遊せるも

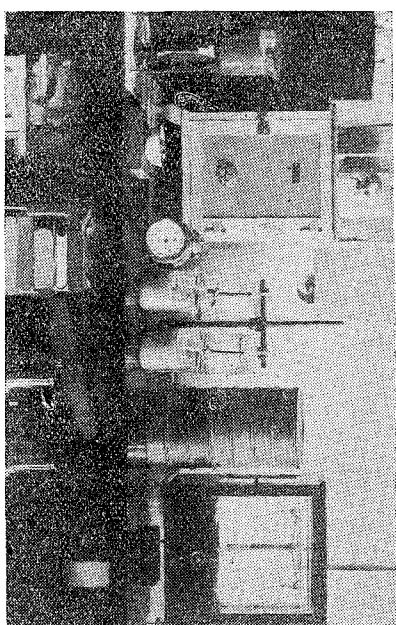
の、(粒径約 0.005 mm 以下)

分析法は先づ電気爐で充分乾燥せる土 50 gr を取り、容量 1,000 cc のビーカーに深さ 11 cm の水を入れた中に投じて 1 時間煮沸し、土粒子を完全に分離せしめる。之を冷却した後底部から 3 cm を残して上澄液をサイフォンに依つて他の容器に移す。次に 3 cm 以下に残つたものに 0.5 % のアンモニア水を 11 cm の深さに加へ、1 分間程攪き廻して分離静置し、底部から 3 cm 以上の上澄液を他の容器に移す。以下此の操作を上澄液が透明になるまで數回繰返して行ふ。

ビーカー中に残つたものは蒸発皿に移し、100°C 附近の電氣爐中にて乾燥し、之を砂利、砂、沈泥に分別ける。

底部より 3 cm 上に浮遊せるもので他の容器に移されたものは粘土とする。

最後に篩別けたものを夫々秤量し、初めの 50 gr に対するパーセンテージを求める。粘土の量は 50 gr から砂利、砂及沈泥の重量を減じて求めらるか、又は更に別の容器に移した粘土を含んだ上澄液の容積を秤り、これを一様に攪き廻した後一部分を取つて砂と同様に乾燥して其の重量を決定する。



第十二圖 土の機械的分析装置

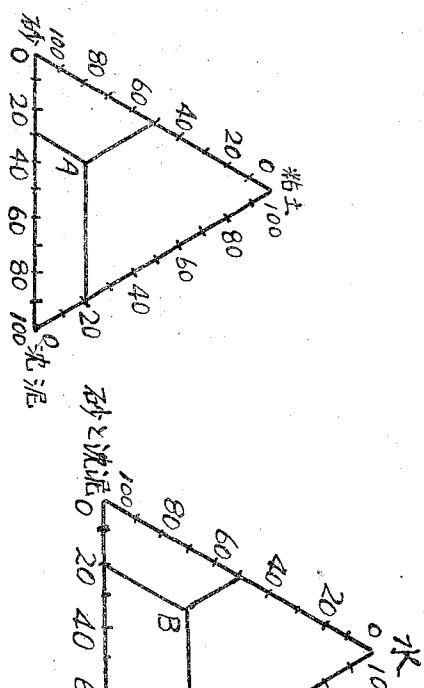
左からビーカーで土を煮沸せる處、乾燥用電気爐、サイホンを使つてビーカーの底部より 3 cm 以上の上澄液を取る處、標準篩、化學天秤を示す。

沈泥、砂は第十三圖の如き三角座標(Triangular coordinate)を使つて一點に表はす。又沈泥と砂とを合せ、これと粘土及び水を頂點とする三角座標に表はせば第十四圖の如くなる。

## 土の顯微鏡的研磨

土の組織及び其の組成物は土の物理的性質を支配する

均質のものは、生物標本の薄片の作製と同様に Mikrotom (薄片切斷器) を使って 0.025 mm 位の薄片に削製する (第

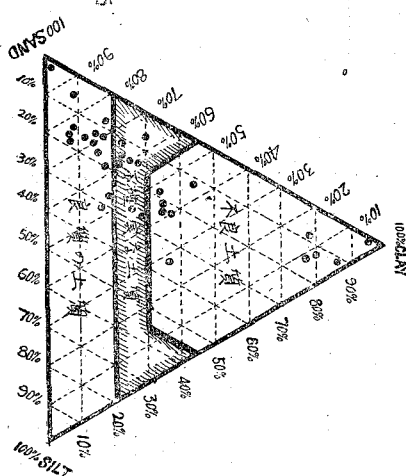


第十三圖 土の成分を表す三角座標  
(其の一)

土質 A は砂 10%、泥炭 20%、粘土 50% から成る事を示す。

第十四圖 土の成分を表す三角座標  
(其二)

土質 B は水 50%、砂及泥炭 20%、粘土 30% から成る事を示す。



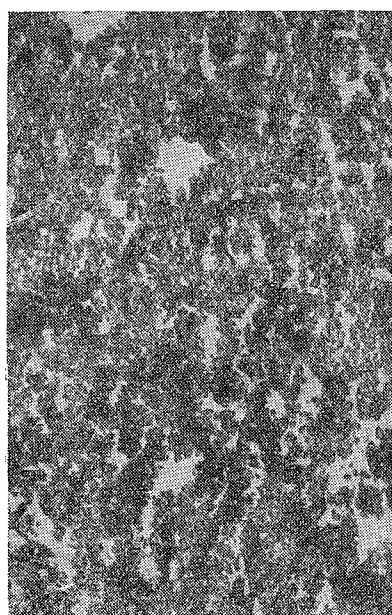
第十五圖 三角座標に表した土質

座標面を U. S. Bureau of Public Roads の方法に従つて、不良土質、不適土壤の土質の三つに区分したもの

重要な Factor であるから、之を研究する爲自然の儘の土。十六圖<sup>16</sup>。組成粒子の大きいものを混じ且つ組織の粗大弛緩を Präparat (薄片) に仕上げて顯微鏡を用ひて観察する。せるものは、電氣爐で乾燥した標本を Bakelite Varnish ⑥

中に浸し空隙部分を之で充し、再び乾燥固結せしめた後恰も岩石標本の Präparat と同様に磨耗器 Schleifmaschine に依つて厚さ 0.03 mm 位の薄片に仕上げる(第十七圖)。

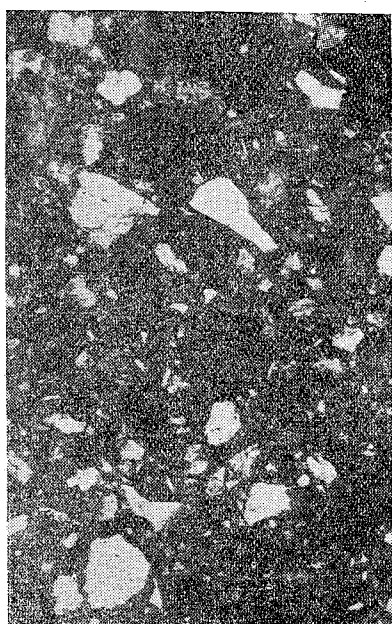
鑑物的分析法---土の組成鑑物を鑑定して鑑物的に分析



第十六圖 粘土の顕微鏡寫真 (1)

nikrotom で切取した粘土の薄片を透過光線で見たるもの。する方法は土粒子の大きさに依つて異なる。

砂 (粒径 0.05 mm 以上) の鑑物名は Biokularmikroskop (立體顯微鏡) と Seitenbelichtung Lampe (側射ランプ)



第十七圖 粘土の顕微鏡寫真 (2)

磨耗器で作製した粘土の薄片を透過光線で見たるもの。

備し、この中に鑑物粒を浸し屈折率を比較して決定する(第十九圖)。因に鑑物の屈折率は其の種類即ち化學成分に依つて一定してゐる。此の場合屈折光線に普通の日光色を

を使って立體的の粒形を觀察し、又結晶形、光澤、他の肉眼的特徴を觀察して鑑定する(第十八圖)。

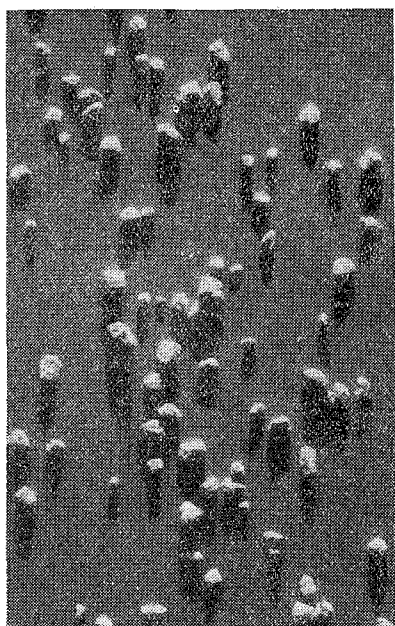
泥炭 (粒径 0.05~0.005 mm) 程度のものは所謂 Becke line 法に依り既に屈折率の判明せる薬液 (約 18 種) を準

使用するときは光の分散作用のため所謂 Becke-line を精確に判定し難いため、Monokromator（單色光器）を使用する。

専用屈折率測定用薬は室内の温度其他に依つて容易にその屈折率を變化するから、測定の度に豫め Obbe's Refractometer で作製した薄片を顯微鏡を用ひ、光學的特性を

検定して鑑定してゐる。

土の組織は、組成粒子の形、間隙、及粒子の配列型の要素によつて決定される。そして組織の状態は直接土の剪断抵抗、彈性、Plasticity、透水性等に影響する。



第十八圖 砂粒の立體顯微鏡寫真

Seite:belichtung Lampe で照し出して砂粒の立體形 meter (屈折計) に依つて検定しておく必要がある。

粘土 (粒径 0.005 mm 以下) の礫物名は薄片切斷器又は鱗耗器で作製した薄片を顯微鏡を用ひ、光學的特性を



第十九圖 泥の顯微鏡寫真

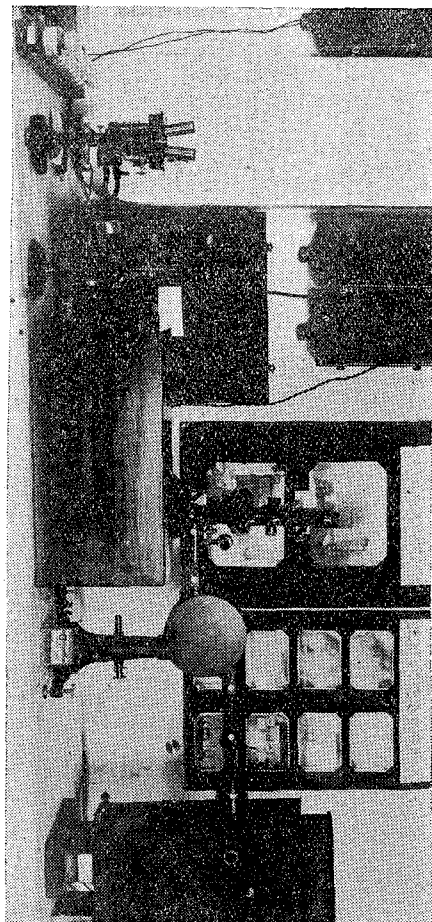
泥の粒子を薬液の中に浸し、透過光線によつて顯微鏡で見るもの。粒子の輪廓部に現はれる白線(Becke line)が消滅すれば薬液と礫物の屈折率が相等しい事を表す。

### 剪断抵抗の測定

後に説明するやうに擁壁の倒壊や構造物の基礎の破壊的沈下は、今日最も信ぜられてゐる學說に従へば結局土の剪断作用に歸するのである。従つて土の剪断抵抗の測定は、土壓理論に於て

これらの構造物の安定を論ずる際も重要な數値である。

一般に土は自ら形狀を保ち得ない爲、土質内部の剪断抵抗を測定するには三



第二十圖 土の顯微鏡的研究装置

に土を密めて中間層を引抜く際の抵抗を測定してゐる。

圖に示すやうに土の sample を密める容器は運搬器と同

一面  $20 \times 20$  cm の正方形の三つ割箱であつて、各層の厚さは上から 10 cm, 7.5 cm, 7.5 cm である。容器の一面上に剪断の際、土粒子の移動状態を覗ひ得るやうに硝子張りしてある。

上下圧は土の上に木の蓋を載せて lever に依つて加へ、剪断力は振子に依つて與へる。引抜いた中間層の移動と剪断力は、中間層に連結し

た drum の廻轉に依り往復行の

記録を取れるやうになつてゐる。

今同一土質から少くも 3 個の sample を採り、垂直荷重

を變へて剪斷抵抗を測定して、

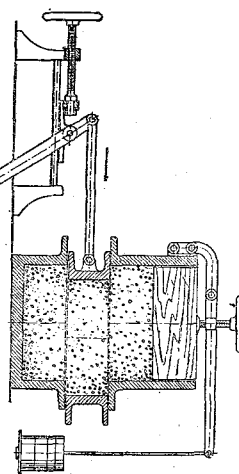
$N$ ……垂直に加へた荷重 (kg)

$F$ ……剪斷抵抗 (kg)

$A$ ……土質容器の断面 ( $\text{cm}^2$ )

$$f = F / 2A \dots \text{抗剪强度} (\text{kg/cm}^2)$$

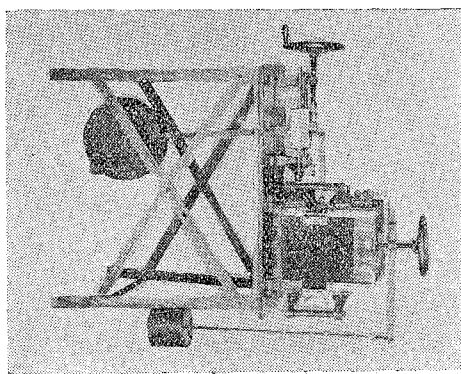
を計算し、これを直角座標に表はせば第二十三圖の如き直線を得る。



第二十一圖 剪斷抵抗測定機の機構

として

$$n = N / A \dots \text{垂直荷重強度} (\text{kg/cm}^2)$$



第二十二圖 剪斷抵抗測定機

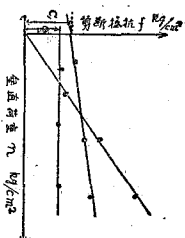
機械の全能力は、上下壓 (CN) は 150 kg. 剪斷力 (下) は 250 kg. 感度は針の歩み 1 mm の讀みが 5 kg である。

直線が水平軸となす角は摩擦角  $\theta$ 、垂直荷重  $n = 0$  の點の抗剪強度は凝集力  $C$  を示す。此の關係を式に表はせば直線式

$$f = n \cdot \tan \theta + C$$

$\tan \theta$  の數値を表はす。  
第二十五圖は凝集力を表し、同様に針金の長さは  $C$  の數値を表はす。

此の様にして凡ゆる土質に就て、器械分析の結果と剪断

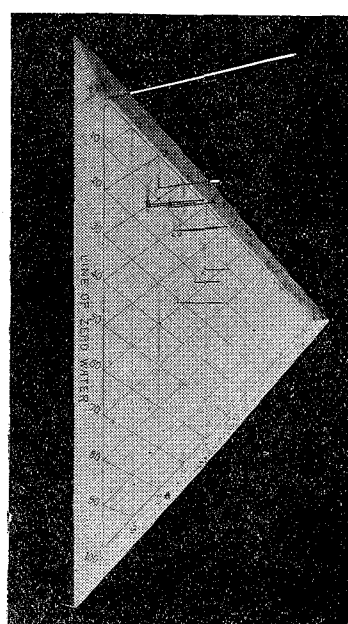


第二十三圖

となる。

測定した摩擦係数  $\tan \theta$  と凝集力  $C$  は三角座標に、座標面に直角の方向に表はす。

第二十四圖は砂及沙泥 (S)、粘土 (O)、水 (W) を頂點とする三角座標の上に表はした摩擦係数、針金の長さは



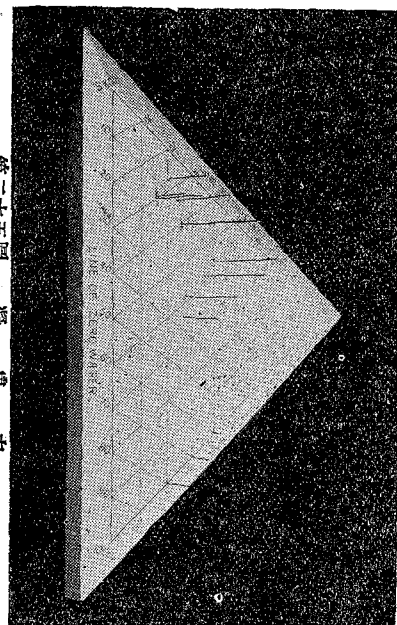
第二十四圖 摩擦係数

抵抗試験の結果を三角座標に plot して全座標面を被ひ盡せば、力学的計算に必要な  $\theta$  と  $C$  の數値は逆に器械分析の結果から三角座標面に依つて推定出来る。

一例として以上の土質試験の結果を示せば次の如し

### 土壓計算の應用例

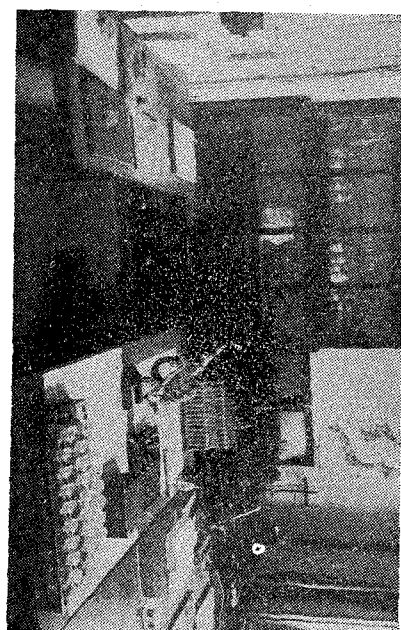
次に上に測定した剪斷抵抗の數値を如何にして構造物の安定度の計算に應用するかを説明する爲、最近の土壓理論を二三紹介して参考に資す。



第二十五圖 土 壓 力

の表

供試材	見掛け比重	三晃線界口第三工區730m附近	三晃線界口第三工區680m附近	備考
機械的分析				
8日(Dis 2.36)	2.60	1.80	1.91	
14" (" 1.17)	0.08	2.59	1.58	
28" (" 0.59)	0.42	9.63	20.50	
48" (" 0.30)	1.22	22.00	22.00	
100" (" 0.15)	2.34	18.40	18.40	
200" (" 0.06)	19.04	10.00	10.00	
Silt (0.005~0.005) Clay (0.005~0)	45.90 31.00 7.54	10.30 3°~08°		
摩擦角 (°)	5°~08°	3°~26°		
粘着力 (C)	0.108	0.243		
強度 kg/m²	0.25	0.52		



第二十六圖 本省内土質實驗室の一部

本省研究所第四科内の土質調査委員會實驗室では、主に顕微鏡による土質の光子的研究を行つてゐる。

K. Terzaghi の土

質力学説に従へば擁壁其他の構造物が、土壓や自重の爲に沈下移動するのは次の原因に據るものである。

(1) 圧力を受けた土が彈性或は Plastic 的の変形をする爲(地盤の變形)。

(2) 荷重に依つて土粒子間の空氣と含水が拠出されて土の體積が縮少する爲(地盤の壓縮)。

沙留の研究所第四科實驗室では顯微鏡による試験以外の土質試験を行つてゐる。が挿出したり、地下水が流動する際、土の中の微細粒子を



第二十七圖 沙留土質實驗室の一部

の彈性、plasticity、間隙率、收縮率及透水度の函數になつてゐて、此等の原因による構造物の移動量は左程大きくはないが、土の剪斷抵抗に關係せる(4)の現象は構造物の倒壊又は破壊的沈下を意味し、所謂土壓論の對象とな

洗ひ去る爲に起る體積の縮少(地盤の凝固)。

(4) 掘壁の背後の土又は地盤が、或る滑り面(Gleitfläche)に沿つて移動する爲(地盤の破壊)。

これ等の沈下若くは移動分力の中(1)乃至(3)は土

るものである。

以下説明するのも此の(4)の現象であつて、土質は何れの方向にも一樣、且つ摩擦力と凝聚力による抵抗を示すものとする。計算には次の符號を使用する。

$$\Delta = \text{土の単位體積の重量} \quad (\text{見掛の比重})$$

$$\theta = \text{土の摩擦角}$$

$$C = \text{土の凝聚力}$$

$$\delta = \text{滑り面の水平面上に對する傾斜角}$$

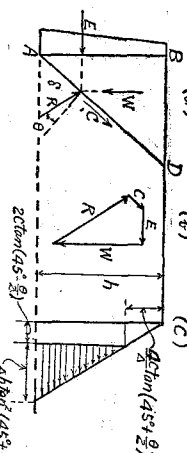
$$(1) \quad \text{擁壁に加はる土壓} (W)$$

Fellenius, J. Réal の理論)

擁壁に加はる主動土壓は、壁體の

背後の土塊 ABD が壁面 AB と滑り面 AD 上を滑って楔の作用をなして壁を前方に壓する

からである(第二十九圖)。



第二十九圖 垂直壁面に働く水平土壓

壁面を垂直、地表面及び土壓を水平方向とすれば第二十

$$E = \frac{\Delta h^2}{2} \tan^2 \left( 45^\circ - \frac{\theta}{2} \right) - 2ch \tan \left( 45^\circ - \frac{\theta}{2} \right)$$

$$\delta = 45^\circ + \frac{\theta}{2}$$

となる。

即ち主動土壓は凝聚力の無い土質に於て深さ  $h_0 = \frac{4c}{\Delta} \tan \left( 45^\circ + \frac{\theta}{2} \right)$  の土を取り去った場合の土壓に等しい。此の高さ  $h_0$  を凝聚力高 Cohesion height と喜んでゐる。

同様に受動土壓は次式で與へられ

$$E = \frac{\Delta h^2}{2} \tan^2 \left( 45^\circ + \frac{\theta}{2} \right) + 2ch \tan \left( 45^\circ - \frac{\theta}{2} \right)$$



(a)



(b)

$$+ 2ch \tan \left( 45^\circ - \frac{\theta}{2} \right)$$

$$\delta = 45^\circ - \frac{\theta}{2}$$

第三十圖 法面の安定

2) 切取、盛土の限界高 (W. Fellenius, J. Réal の

理論)

凝聚力  $C$ 、摩擦角  $\theta$  を有する土を垂直に切り取り又は盛し得る限界高(Critical height)は(1)の主動土圧を零とおいて

$$h = \frac{4C}{\Delta} \tan\left(45^\circ + \frac{\theta}{2}\right)$$

で與へられる。此の高さは凝集高と同一である。

次に切取、盛土の法面を或る勾配  $\varphi$  に保持する限界高は次式で與へられる(第三十圖)。

第三十一圖 地上りの厚さ

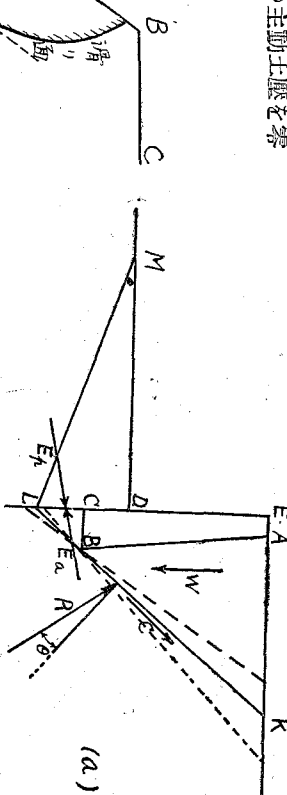
$$h = \frac{2C}{\Delta} \frac{\sin \varphi \cos \theta}{\sin^2 \frac{\varphi - \theta}{2}}$$

$$\delta = \frac{\varphi + \theta}{2}$$

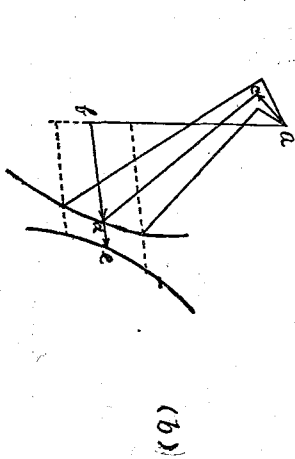
又勾配  $i$  の法面が地元りを起すとき、其の地元りの厚さ

$E$  は次式で與へられる(第三十一圖)。

$$E = \frac{C}{\Delta} \frac{\cos \theta}{\sin(\varphi - \theta)}$$



(a)



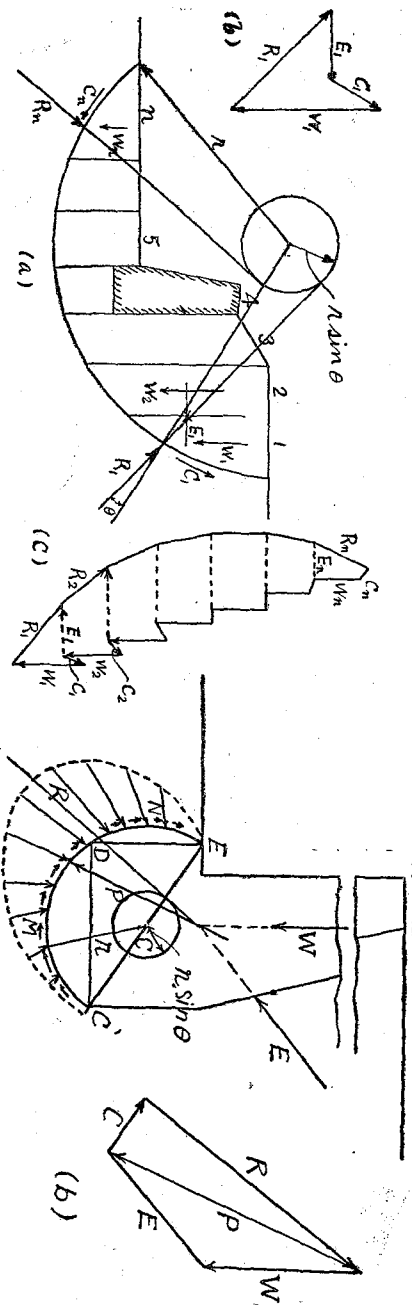
(b)

第三十二圖 推壁の基礎の安定

故に或る地元りに就て數ヶ處で厚さ  $E$  を測れば上式から逆に  $C$  と  $\theta$  の値が算出される。

## 3) 掘壁の基礎の安定 (H. Krey の解法)

掘壁が倒壊する際基礎の一地点 B を通る滑り LK 面の之を土塊 ABK、CLB が壁體と一绪に滑り落ちて前方の土壤 DLM を押し上げる場合が考へられる (第三十二圖)。



第三十三圖 軟弱地盤の地上 y

力角形 (b) を画くには先づ ELK の重量を垂直に ab に取り、bc を  $C \times \overline{LK}$  に等しく LK 線に平行に取り、cd, ce を

垂直面 DL に働く、凝集力を考へた受動土圧  $E_p$  を bd の延長上に取つて be とする。

b, de の軌跡を画けば線分 de の最短距離は最も危険な

滑り面を與へ、 $E_p/E_a$  の比が安定に對する安全率を與へる

## 4) 軟弱地盤の地図 (S. Hultin の解法)

軟弱地盤に高い盛土切抜を施工したり、急勾配の土地が

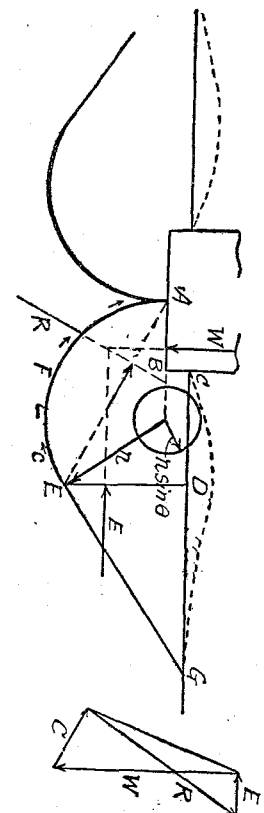
(a) 第三十四圖 掘壁の轉倒

雨水を含んで摩擦角を著しく減少したりすると、構造物の基礎より遙に深い處で地盤が略々圓錐形の面に沿つて滑る事は屢見受けられる處である（第三十三圖）。

この場合は滑り面上の部分を  $n$  個の垂直部分に分けて各個に就て力角形（b）を書き、1から始めて書いた全體の力角形（c）が最後に閉じれば構造物は安全である。

（5） 摩擦の迴轉に對する安定（H. Krey の解法）

次に擁壁が前方に倒れる場合には基礎を圍む最小圓錐面 ENDMC で土が滑る事が考へられる。この場合は土壁 E と壁體の重量 W との合力 P に抵抗する力は、滑り面内の凝集力 C と  $r \cdot \sin \theta$  圓に切する反力である。然るに  $C \times \overline{ENDMC} = C \times \overline{EC}$  であるから、R の



第三十五圖 基礎の破壊的沈下 (a)

(a) 重に兩側

倒れる場合には基礎

を圍む最小圓錐面 ENDMC で土が滑る事が考へられる。

この場合は土壁 E と壁體の重量 W との合力 P に抵抗

する力は、滑り面内の凝集力 C と  $r \cdot \sin \theta$  圓に切する反力

である。然るに  $C \times \overline{ENDMC} = C \times \overline{EC}$  であるから、R の

大きさは力角形から求められる。従つて迴轉に對する安定の條件は、

$$P \cdot e < (R \cdot \sin \theta + C \cdot \overline{ENDMC}) \cdot r$$

となる。

構造物の破壊的沈下

(6) 基礎の破壊的沈下 (H. Krey の解法)

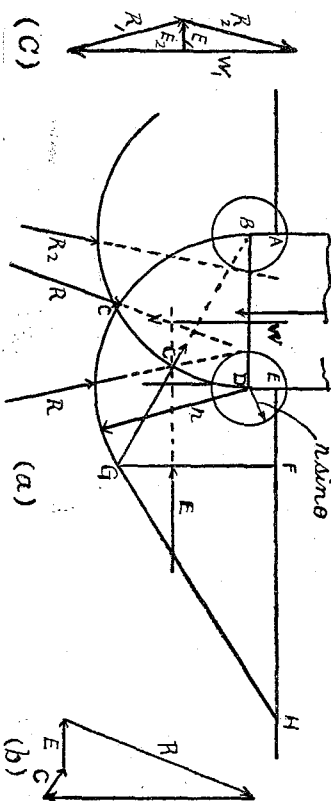
下は基礎が擁壁の土を兩側へ壓し上げる爲に起ると考へられ

てゐる。これには次の二つの場合が考へられる。

とに分解する。茲に土圧  $E$  は水平方面、 $R$  は  $r \cdot \sin \theta$  回に切するものとする。求めた  $M$  が垂直面  $DE$  に働く、凝集力を考へて受動土圧より小さければ破壊沈下は起らない。

(b) 基礎の下の土が圧縮されて兩側の土を押し上げる場合(第三十六圖)。

構造物が沈下する際滑り面  $BCGH$  と之に對稱の  $DC$  ……が發生するが、沈下と同時に土塊  $BCD$  は構造物の荷重に壓縮されて垂直に沈下し、楔の作用に依つて兩側の土を押し上



以上を要するに土質の科學的調査は、(1) 土の器械的分析、(2) 土の物理的分析及比重測定に依つて土を精確に分類記考へて力角形 (b) を書いて場合の條件から  $E$  を求める。鍛し、次に(2) 構造物の安定に直接の關係を持つ抗剪強

度  $CW$  は構造物と土壤  $BCGFED$  の重量、 $C$  は滑り面  $BCG$  に沿ふ凝集力である。求めた土圧  $E$  が垂直面  $FG$  に働く受動土圧より小さければ構造物は安定である。次に沈下し始めると土壤  $BCD$  は構造物と共に沈下するから、構造物の荷重

と土壤の重量の和を

$W_1$  とし、力角形 (c)

に依つて  $R_1$ 、 $R_2$  及

$E_1$ 、 $E_2$  を求めれば、

$E_1$  が受動土圧より

小さい時は構造物は

安定である。

### 結論

れる。

これを力學的に取扱ふには先づ右側の滑り面  $BCGH$  を分柝、鑄物學的分析及比重測定に依つて土を精確に分類記考へて力角形 (b) を書いて場合の條件から  $E$  を求める。鍛し、次に(2) 構造物の安定に直接の關係を持つ抗剪強

度を測定し、(3) 構造物の沈下、繊維盛土の沈降等に關係せる土の收縮率、間隙率、透水度及び可塑性を測定し、更に(4) 土の構造組織を顯微鏡的に觀察して以上の物理的性質と其れ等の間の有機的な關係を説明する事である。

## 自転車道の施設を提倡す

江 守 保 平

世界的モーターエーデの波に押され我國に於ても自動車は最近著しき發達を見せ現在では都鄙を通じ絶對的勢力を以て陸上交通界を牛耳つてゐる。然しそこに今一つ我國現在の道路交通機關を考ふる上に於て忘ることの出來ないものに自転車がある。新舊の兩交通機關又は高速及低速の兩交通機關の間に介在して巧みにその長短を補ひ簡易交通機關として我々の實生活と密接な關係を保ちつゝその發達は極めて著しく今や全國津々浦々に至るまで道路と云ふ道路と云ふ道路上に自転車の影を見ない所は全くない。

最近の統計に據れば我國に於ける道路交通機關の總數は次の如き數字を示してゐる。

次にこれ等の土質調査の結果に土質力學の理論を應用して構造物を合理的に設計する。最後に現場の地形及び成層状態を充分調査し、以上の土質調査の結果を併せ考慮して工事を施工して、最も經濟的な構造物を完成せんとす。

自 転 車	5,111,695臺	人 力 車	59,156臺
荷 車	1,894,141臺	自 動 車	57,399臺
荷 馬 車	329,901臺	飛 用 馬 車	2,895臺
荷 牛 車	86,222臺		

此表に據ると我國道路交通機關のうち數に於ては自転車が斷然、他をリードしその數五百萬臺に達してゐるが之を我が國人口と比較するときは實に十二人に一臺の割合となり程んど各戸毎に備へられてゐることになる。民衆的交通機關としての自転車は或は乗用として或は小荷物運送用として普偏化され今や全く自転車黃金時代を現出してゐる。道路の利用率から見ても矢張り自転車が他を抜んでてゐるの